

Starkniederschlagshöhen und -spenden gemäß KOSTRA-DWD-2020

Rasterfeld 64182

(Zeile 64, Spalte 182)

Regenspende und Bemessungsniederschlagswerte in Abhängigkeit von Wiederkehrzeit T und Dauerstufe D

| Dauerstufe D | | Wiederkehrzeit T | | | | | | | | | | | | | | | | | |
|--------------|-----|------------------|------------|------|------------|------|------------|------|------------|------|------------|-------|------------|-------|------------|-------|------------|-------|------------|
| | | 1 a | | 2 a | | 3 a | | 5 a | | 10 a | | 20 a | | 30 a | | 50 a | | 100 a | |
| min | Std | mm | l / (s ha) | mm | l / (s ha) | mm | l / (s ha) | mm | l / (s ha) | mm | l / (s ha) | mm | l / (s ha) | mm | l / (s ha) | mm | l / (s ha) | mm | l / (s ha) |
| 5 | | 5,8 | 193,3 | 7,1 | 236,7 | 7,9 | 263,3 | 9,0 | 300,0 | 10,6 | 353,3 | 12,3 | 410,0 | 13,3 | 443,3 | 14,7 | 490,0 | 16,7 | 556,7 |
| 10 | | 7,7 | 128,3 | 9,5 | 158,3 | 10,6 | 176,7 | 12,1 | 201,7 | 14,2 | 236,7 | 16,4 | 273,3 | 17,8 | 296,7 | 19,7 | 328,3 | 22,3 | 371,7 |
| 15 | | 8,9 | 98,9 | 11,0 | 122,2 | 12,3 | 136,7 | 14,0 | 155,6 | 16,4 | 182,2 | 18,9 | 210,0 | 20,6 | 228,9 | 22,7 | 252,2 | 25,8 | 286,7 |
| 20 | | 9,8 | 81,7 | 12,1 | 100,8 | 13,5 | 112,5 | 15,4 | 128,3 | 18,0 | 150,0 | 20,8 | 173,3 | 22,6 | 188,3 | 25,0 | 208,3 | 28,4 | 236,7 |
| 30 | | 11,1 | 61,7 | 13,7 | 76,1 | 15,3 | 85,0 | 17,4 | 96,7 | 20,4 | 113,3 | 23,6 | 131,1 | 25,6 | 142,2 | 28,3 | 157,2 | 32,2 | 178,9 |
| 45 | | 12,5 | 46,3 | 15,4 | 57,0 | 17,2 | 63,7 | 19,6 | 72,6 | 23,0 | 85,2 | 26,5 | 98,1 | 28,8 | 106,7 | 31,8 | 117,8 | 36,2 | 134,1 |
| 60 | 1 | 13,5 | 37,5 | 16,7 | 46,4 | 18,6 | 51,7 | 21,2 | 58,9 | 24,9 | 69,2 | 28,7 | 79,7 | 31,2 | 86,7 | 34,5 | 95,8 | 39,2 | 108,9 |
| 90 | 1,5 | 15,1 | 28,0 | 18,6 | 34,4 | 20,8 | 38,5 | 23,7 | 43,9 | 27,8 | 51,5 | 32,1 | 59,4 | 34,9 | 64,6 | 38,5 | 71,3 | 43,8 | 81,1 |
| 120 | 2 | 16,3 | 22,6 | 20,1 | 27,9 | 22,5 | 31,3 | 25,6 | 35,6 | 30,0 | 41,7 | 34,6 | 48,1 | 37,6 | 52,2 | 41,6 | 57,8 | 47,2 | 65,6 |
| 180 | 3 | 18,1 | 16,8 | 22,3 | 20,6 | 25,0 | 23,1 | 28,4 | 26,3 | 33,4 | 30,9 | 38,5 | 35,6 | 41,8 | 38,7 | 46,2 | 42,8 | 52,5 | 48,6 |
| 240 | 4 | 19,5 | 13,5 | 24,1 | 16,7 | 26,9 | 18,7 | 30,6 | 21,3 | 35,9 | 24,9 | 41,4 | 28,8 | 45,1 | 31,3 | 49,8 | 34,6 | 56,6 | 39,3 |
| 360 | 6 | 21,6 | 10,0 | 26,7 | 12,4 | 29,8 | 13,8 | 34,0 | 15,7 | 39,9 | 18,5 | 46,0 | 21,3 | 50,0 | 23,1 | 55,2 | 25,6 | 62,7 | 29,0 |
| 540 | 9 | 24,0 | 7,4 | 29,6 | 9,1 | 33,1 | 10,2 | 37,6 | 11,6 | 44,2 | 13,6 | 51,0 | 15,7 | 55,4 | 17,1 | 61,2 | 18,9 | 69,6 | 21,5 |
| 720 | 12 | 25,8 | 6,0 | 31,9 | 7,4 | 35,6 | 8,2 | 40,5 | 9,4 | 47,6 | 11,0 | 54,8 | 12,7 | 59,6 | 13,8 | 65,9 | 15,3 | 74,8 | 17,3 |
| 1080 | 18 | 28,6 | 4,4 | 35,3 | 5,4 | 39,4 | 6,1 | 44,9 | 6,9 | 52,7 | 8,1 | 60,8 | 9,4 | 66,1 | 10,2 | 73,0 | 11,3 | 82,9 | 12,8 |
| 1440 | 24 | 30,8 | 3,6 | 37,9 | 4,4 | 42,4 | 4,9 | 48,2 | 5,6 | 56,7 | 6,6 | 65,3 | 7,6 | 71,0 | 8,2 | 78,5 | 9,1 | 89,2 | 10,3 |
| 2880 | 48 | 36,6 | 2,1 | 45,2 | 2,6 | 50,5 | 2,9 | 57,4 | 3,3 | 67,5 | 3,9 | 77,8 | 4,5 | 84,6 | 4,9 | 93,5 | 5,4 | 106,2 | 6,1 |
| 4320 | 72 | 40,6 | 1,6 | 50,0 | 1,9 | 55,9 | 2,2 | 63,6 | 2,5 | 74,7 | 2,9 | 86,2 | 3,3 | 93,7 | 3,6 | 103,5 | 4,0 | 117,6 | 4,5 |
| 5760 | 96 | 43,6 | 1,3 | 53,8 | 1,6 | 60,1 | 1,7 | 68,4 | 2,0 | 80,3 | 2,3 | 92,6 | 2,7 | 100,7 | 2,9 | 111,3 | 3,2 | 126,4 | 3,7 |
| 7200 | 120 | 46,1 | 1,1 | 56,9 | 1,3 | 63,6 | 1,5 | 72,3 | 1,7 | 85,0 | 2,0 | 98,0 | 2,3 | 106,5 | 2,5 | 117,7 | 2,7 | 133,7 | 3,1 |
| 8640 | 144 | 48,3 | 0,9 | 59,6 | 1,1 | 66,6 | 1,3 | 75,7 | 1,5 | 89,0 | 1,7 | 102,6 | 2,0 | 111,5 | 2,2 | 123,2 | 2,4 | 140,0 | 2,7 |
| 10080 | 168 | 50,2 | 0,8 | 61,9 | 1,0 | 69,2 | 1,1 | 78,7 | 1,3 | 92,5 | 1,5 | 106,6 | 1,8 | 115,9 | 1,9 | 128,1 | 2,1 | 145,5 | 2,4 |

Starkniederschlagshöhen und -spenden gemäß KOSTRA-DWD-2020

Rasterfeld 64182

(Zeile 64, Spalte 182)

Örtliche Unsicherheiten in Abhängigkeit von Wiederkehrzeit T und Dauerstufe D

| Dauerstufe D | | Wiederkehrzeit T | | | | | | | | |
|--------------|-----|------------------|-----|-----|-----|------|------|------|------|-------|
| | | 1 a | 2 a | 3 a | 5 a | 10 a | 20 a | 30 a | 50 a | 100 a |
| min | Std | ± % | ± % | ± % | ± % | ± % | ± % | ± % | ± % | ± % |
| 5 | | 12 | 13 | 13 | 14 | 14 | 15 | 15 | 16 | 16 |
| 10 | | 13 | 15 | 15 | 16 | 17 | 19 | 19 | 20 | 20 |
| 15 | | 14 | 16 | 17 | 18 | 19 | 20 | 21 | 22 | 22 |
| 20 | | 14 | 17 | 18 | 19 | 20 | 22 | 22 | 23 | 23 |
| 30 | | 15 | 17 | 19 | 20 | 21 | 22 | 23 | 24 | 24 |
| 45 | | 15 | 17 | 19 | 20 | 21 | 23 | 23 | 24 | 25 |
| 60 | 1 | 15 | 17 | 18 | 20 | 21 | 22 | 23 | 24 | 24 |
| 90 | 1,5 | 14 | 16 | 18 | 19 | 21 | 22 | 22 | 23 | 24 |
| 120 | 2 | 13 | 16 | 17 | 18 | 20 | 21 | 22 | 22 | 23 |
| 180 | 3 | 13 | 15 | 16 | 17 | 19 | 20 | 21 | 21 | 22 |
| 240 | 4 | 12 | 14 | 15 | 17 | 18 | 19 | 20 | 20 | 21 |
| 360 | 6 | 12 | 14 | 15 | 16 | 17 | 18 | 19 | 19 | 20 |
| 540 | 9 | 12 | 13 | 14 | 15 | 16 | 17 | 18 | 18 | 19 |
| 720 | 12 | 12 | 13 | 14 | 15 | 16 | 17 | 17 | 18 | 19 |
| 1080 | 18 | 13 | 13 | 14 | 15 | 16 | 16 | 17 | 17 | 18 |
| 1440 | 24 | 13 | 14 | 14 | 15 | 16 | 16 | 17 | 17 | 18 |
| 2880 | 48 | 16 | 16 | 16 | 16 | 16 | 17 | 17 | 17 | 18 |
| 4320 | 72 | 18 | 17 | 17 | 17 | 17 | 18 | 18 | 18 | 18 |
| 5760 | 96 | 19 | 18 | 18 | 18 | 18 | 18 | 19 | 19 | 19 |
| 7200 | 120 | 20 | 19 | 19 | 19 | 19 | 19 | 19 | 19 | 20 |
| 8640 | 144 | 21 | 20 | 20 | 20 | 20 | 20 | 20 | 20 | 20 |
| 10080 | 168 | 22 | 21 | 21 | 20 | 20 | 20 | 20 | 20 | 20 |

Parameter für abweichende T und D

Lokationsparameter ξ (Xi)

13,87026951

Skalenparameter α (Alpha)

4,50277036

Formparameter κ (Kappa)

-0,1

1. Koutsoyiannis-Parameter θ (Theta)

0,03342131

2. Koutsoyiannis-Parameter η (Eta)

0,74880256

Parameter für dauerstufenübergreifende Extremwertschätzung nach KOUTSOYIANNIS et al. 1998.

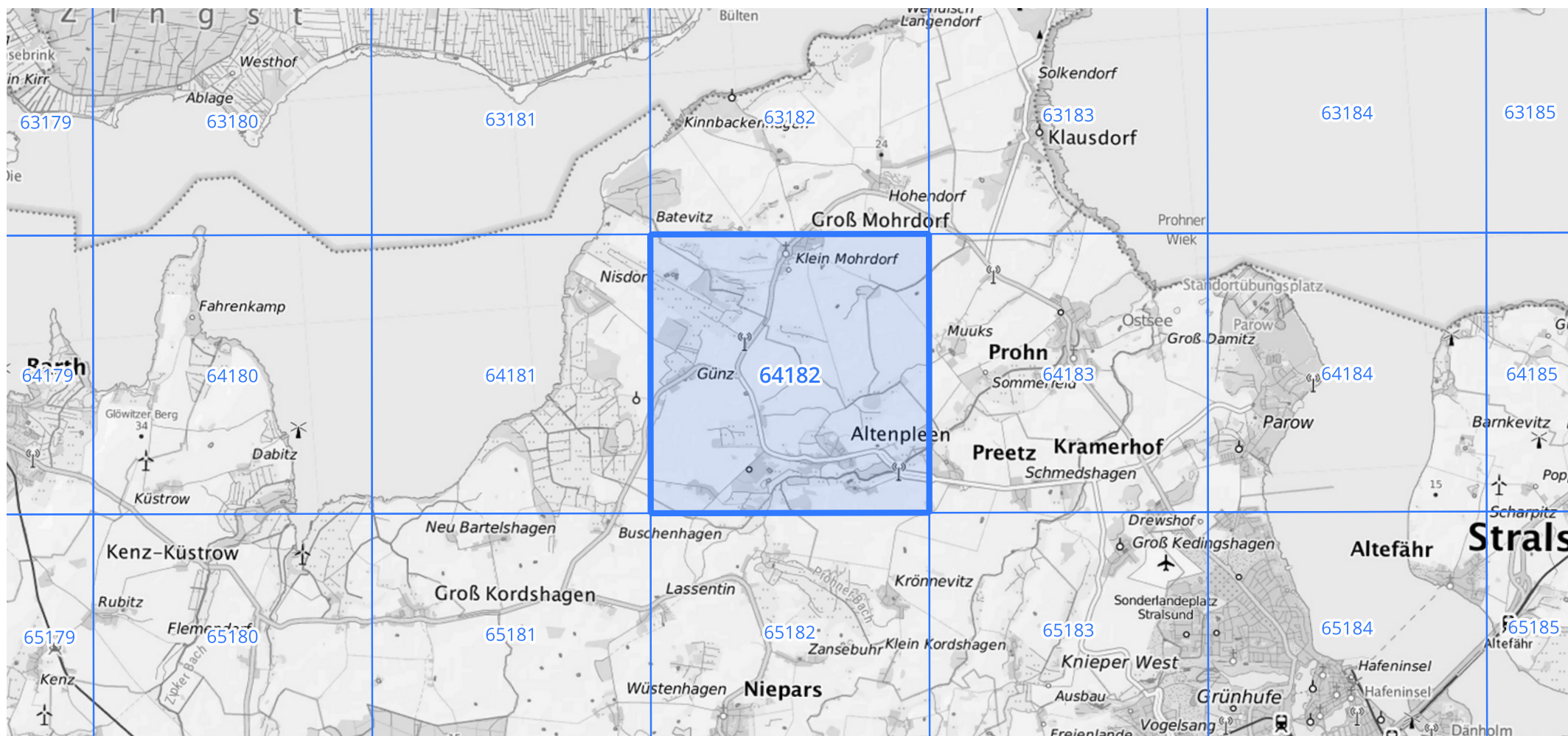
Siehe auch Anwendungshilfe zu KOSTRA-DWD-2020 des Deutschen Wetterdienstes.

Starkniederschlagshöhen und -spenden gemäß KOSTRA-DWD-2020

Rasterfeld 64182

(Zeile 64, Spalte 182)

Übersichtskarte des Rasterfeldes 64182, M 1 : 100 000



Quelle Rasterdaten: KOSTRA-DWD-2020 des Deutschen Wetterdienstes, Stand 12/2022.

Seite 3 von 3

Kartendarstellung: © Bundesamt für Kartographie und Geodäsie (2023), Datenquellen: https://sgx.geodatenzentrum.de/web_public/gdz/datenquellen/Datenquellen_TopPlusOpen.html

Für die Richtigkeit und Aktualität der Angaben wird keine Gewähr übernommen. Erstellt 01/2023.